

Modelování ložisek s naklápacími segmenty

Václav Houdek¹

1 Úvod

Ložiska s naklápacími segmenty mají oproti kluzným ložiskům s pevnou geometrií několik výhod. Hlavní výhodou je bezpochyby vyšší obvodová rychlosť čepu hřídele. Ložiska s naklápacími segmenty mohou pracovat při obvodových rychlostech přes 100 m/s. Zároveň mají vysokou tuhost i tlumení. Nevýhodou je jejich konstrukční složitost.

Mezi základní charakteristiky kluzných ložisek patří koeficienty vyjadřující tuhost a tlumení ložiska. Pro jejich výpočet bylo potřeba sestavit komplikované výpočetní modely. Většina dodnes užívaných výpočetních modelů je založena na rovnici sestavené v r. 1886 profesorem Osbournem Reynoldsem.

Tento příspěvek je proto soustředěn na vytvoření metodiky modelování těchto ložisek v multi-body softwaru.

2 Multi-body přístup

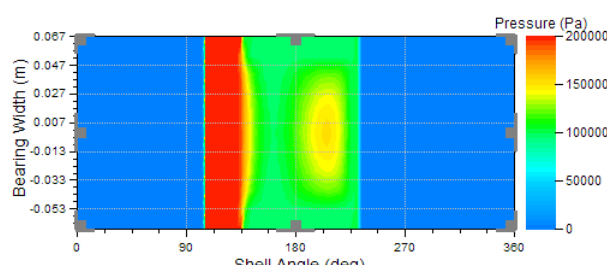
Matematický model ložiska byl vytvořen v multi-body softwaru AVL Excite. Tento program umožňuje propojit jednotlivá tělesa systému (čep hřídele, segment, ložiskové těleso) ne-lineárními vazbami (ložisková vazba, pružina, šroub atd.). Při zadání ložiskové vazby lze však uvažovat pouze ložiska s 2π olejovým filmem, které nahradí klasické kluzné ložisko s pevnou geometrií. Jednotlivé segmenty mají kratší obvodový úhel (než 2π), a protože se mohou naklápat, je nutné olejový film na každém segmentu uvažovat jako samostatnou vazbu.

Tohoto lze dosáhnout pomocí tlakových okrajových podmínek maziva. Segment je vytvořen jako klasické kluzné ložisko s mazací drážkou, do které neproudí mazivo a která může zaujmít libovolnou výseč v rámci ložiskové pánve. Obr. 1 znázorňuje tlakové okrajové podmínky na jedné 2π vazbě, která nahrazuje vazbu

mezi segmentem a čepem hřídele. Modré je vyznačena mazací drážka s nulovým tlakem maziva, červeně s tlakem 2 bar (skutečná mazací drážka), zelená část vyznačuje samotný segment.

3 Výsledky a porovnání

Nejdůležitějšími charakteristikami ložisek jsou tuhost a tlumení v jednotlivých směrech. Tento příspěvek je zaměřen na identifikaci tuhosti ložiska.



Obrázek 1: Tlakové pole

¹ student bakalářského studijního programu Počítačové modelování v technice, obor Počítačové modelování, e-mail: vaclavh@rek.zcu.cz

Pro zjištění všech čtyř koeficientů tuhosti (k_{yy} , k_{yz} , k_{zy} , k_{zz}) byly vytvořeny tři typy zátěžných stavů. V prvním byla simulována odezva ložiska na nominální zatížení $42\ 570\ N$. Ve druhém stavu byla připojena síla $\Delta F_y = 1\ N$, která způsobila vychýlení čepu z rovnovážné polohy o Δ_{yy} v směru osy y a o Δ_{yz} ve směru osy z , a ve třetím stavu byla připojena síla $\Delta F_z = 1\ N$, která způsobila vychýlení čepu z rovnovážné polohy o Δ_{zz} ve směru osy z a o Δ_{zy} ve směru osy y . Z tohoto byly zjištěny čtyři výchylky čepu hřídele od nominálního stavu d_{yy} , d_{yz} , d_{zy} a d_{zz} , první index značí směr síly druhý směr výchylky.

Koeficienty tuhosti byly zjištěny z této soustavy rovnic

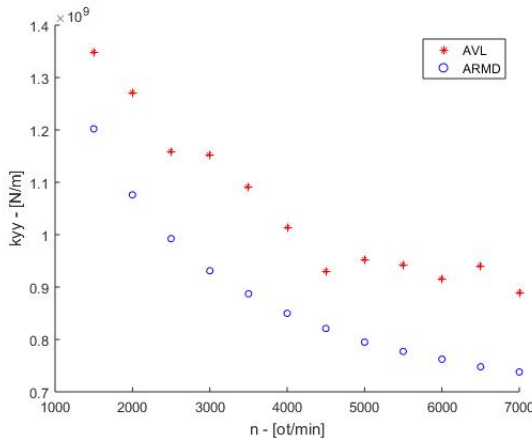
$$\Delta F_y = 1 = k_{yy} \cdot d_{yy} + k_{yz} \cdot d_{yz}, \quad (1)$$

$$0 = k_{zy} \cdot d_{yy} + k_{zz} \cdot d_{yz}, \quad (2)$$

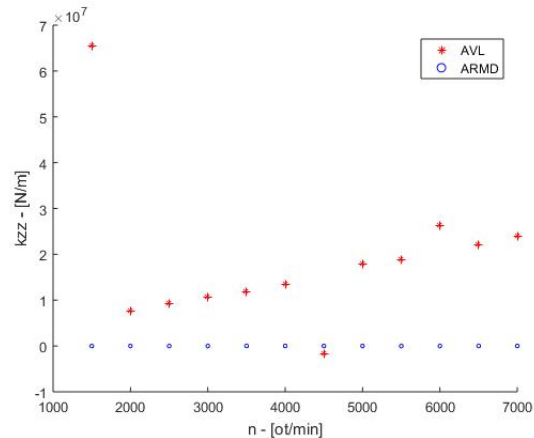
$$0 = k_{yy} \cdot d_{zy} + k_{yz} \cdot d_{zz}, \quad (3)$$

$$\Delta F_y = 1 = k_{zy} \cdot d_{zy} + k_{zz} \cdot d_{zz}. \quad (4)$$

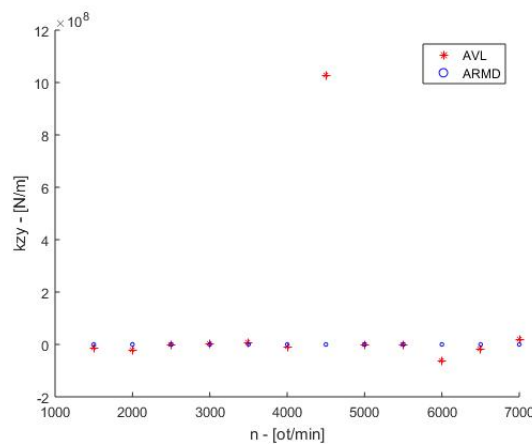
Odezva modelu byla simulována při rychlostech od $1500\ ot/min$ do $7000\ ot/min$ s krokem $500\ ot/min$ a porovnána s modelem vytvořeným v programu ARMD (obr. 2, 3, 4 a 5).



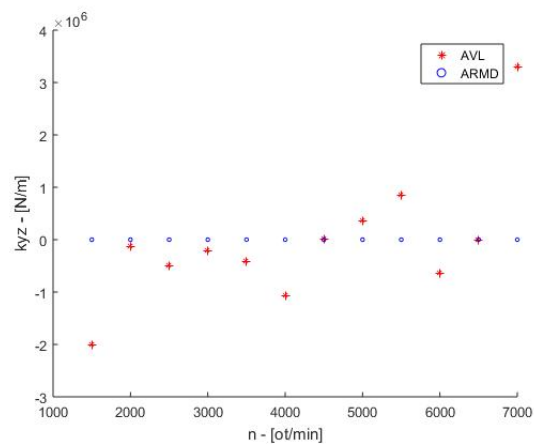
Obrázek 2: Tuhostní koeficient k_{yy}



Obrázek 3: Tuhostní koeficient k_{zz}



Obrázek 4: Tuhostní koeficient k_{zy}



Obrázek 5: Tuhostní koeficient k_{yz}

Literatura

Stachowiak, G.W., a Batchelor, A.W. (2014) *Engineering tribology*. Oxford, Elsevier/Butterworth-Heinemann.